

日立中研における医用画像処理の研究

山本真司（日立中央研究所）

1. はじめに

日立中研におけるパターン認識関連の研究は、現在4グループに分かれています。すなはち、文字認識グループ、医用を主体とした画像処理・認識グループ、音声合成・認識グループ、物体認識グループ、これら。その他IC領域・圧縮を中心とした画像処理のグループが別々に存在しますが、これら各グループは互いに密接な連絡をとり合い、時には共同でプロジェクトを組んで研究を行なっています。また研究設備の面から見ると、各グループがそれぞれの特徴向こうに最適と思われるシステム作りを長年かけて行なってきたおり、かなり整備されたと見えられます。

以下では話を医用を主体とした画像認識グループの問題に限定して、このグループが使用している計算機システムの紹介と現在行なっている画像処理の研究内容を紹介させていただく。

2. システム構成

2. 1. 計算機の構成

現在使用している画像処理システムの構成図を図1に示す。研究室所属の計算機としては HITAC - 10 がシステムあるが、こちら1システムはプログラムライバツフ用および医用超音波など他の研究用に共用している。他1システムは画像処理専用であり、使用効率を良くライバツフが完了したプログラムによる RUN 専用にしている。

どのような計算機システムが画像処理用として選ましいかは研究のフェーズあるいは目的によって異なってくると考えられるが、私は大きく2つの場合に分けを考えている。一つは、研究、初期段階あるいはアルゴリズム専門の研究を目的とした場合であり、新アルゴリズムの探索あるいは旧アルゴリズムとの比較を迅速に行ないたい段階である。この目的のためには扱う画像データの量はそれほど多く不要としない反面、アルゴリズムの性能評価は一刻も早く行ないたい。したがってプログラムは FORTRAN など組み易いものを使い、各種オプションを完備した大型計算機の方が使いやすい。この目的のためには图1のシステムは HITAC 8450 ヒオシラインで接続されており、必要な画像情報の転送が両方向で行なえるようになつている。この場合 H-10 側は画像の取り込み（入力）と Display 用のコントローラとして機能し、H-8450 側が画像の処理（演算）を行なう。

今一つのフェーズは、研究の中期～後期の段階であり、ある程度固まってきたアルゴリズムと大量の画像データに適用して性能確認や改良を行なつたり、ミニコンをベースとした特定画像専用システムの最適設計を計る段階である。この段階では処理速度がよびメモリ効率の良からプログラムはアセンブル言語が適して

おり、また長時間計算棟を占有する傾利を作つてから必要がある。さらに画像の読み取り、特微抽出のようにソフトだけでは物理時間の長い目的の仕様を満たすものについては適宜専用のハードウェアを組んで接続していく柔軟性が必要である。図1のシステムはどちらかと言えばこうした目的を意識して作られており、H-8450とTDリモコンした状態で上記目的を果していいる。したがってH-10側は原則としてアセンブリ言語を用いており、対象画像ごとに専用のソフトを組んでいく。

一方、図1の構成から、細胞診用のや理学検査用のカラーブラウン管の検査自動化用の処理装置はすでに研究設備の段階を過ぎ、それ自身が開発目的のシステムになつていい例である。これらの詳細については別の機会に譲るとして、以下では顕微鏡画像の処理を主目的とした汎用的に作られた機器について述べる。

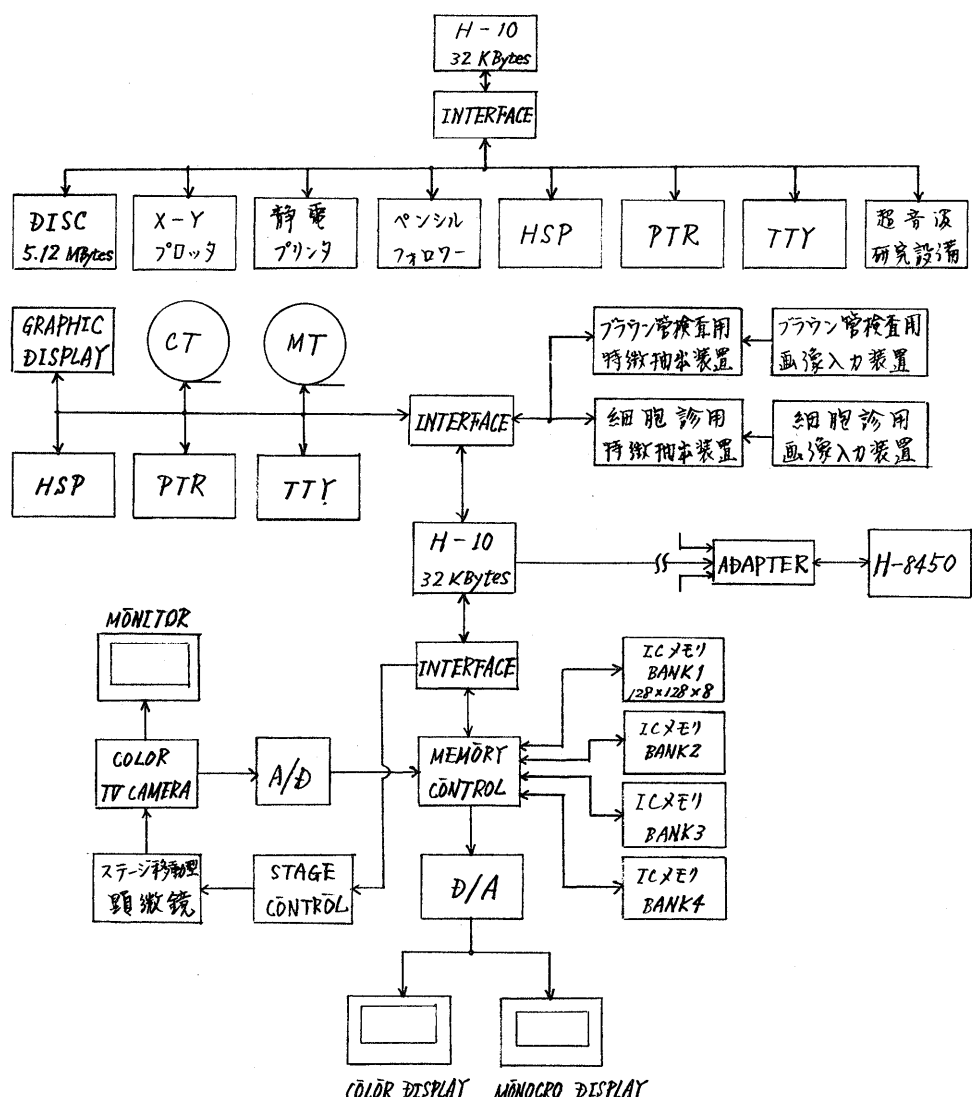


図1. 画像処理システムの構成

2. 2. 頭微鏡画像巨視対象とした構成の構成

医学の領域で得られる画像情報には、子宮がん細胞、白血球像、染色体像など頭微鏡区分して得られる画像が多い。これらの画像は色彩情報を持つことがあるが、これらを構成していくと必要な構成である。そこで光学頭微鏡方式に接続された管カラーカメラ、A/D変換器、 128×128 の検索用 ICメモリ4台、Display用のモニターテレビ2台（カラーや白黒）、頭微鏡のステーション部送り構造から成る入力装置を試作した。なおA/D変換器は8ビット、 10MHz の性能を有し、ICメモリはサイクルタイム 350ns のRAM (Random Access Memory) を用いた。

この頭微鏡画像入力装置は、3管カラーカメラの映像出力信号 R, G, B, やびこの3者の輝度の単位信号 (Yと略記) の一信号を8ビットでA/D変換し、 $128 \times 128 \times 8$ ビットの大きさを持つ ICメモリ4台 (Bank 1 ~ Bank 4と呼ぶ) のいずれかに書き込む機能、H-10とICメモリとの向互通い -> 転送を行なう機能、ICメモリの内容をカラーや白黒でDisplayする機能、頭微鏡のステーションを2次元に移動させる機能を持つ。この装置はH-10から高速モード (Direct Memory Access) で出力される4 wordsのコマンドにより動作する。図2は4 wordsのコマンドの内容で、1 word目が動作の種類の指定、ICメモリのBankの指定、入力信号 (R, G, B, Y) の選択、A/D変換のサンプリングピッチの指定を行ない、2 word目はA/D、データ転送、Displayの階数の指定、3 word目はICメモリの番地の指定、4 word目はデータ転送の時のH-10の番地指定、あるいはA/D、Displayの時のモード上2の位置指定を行なう。以下各モード時2の機能を簡単に述べる。

(1) A-D 変換

標準方式のテレビ1画面を 320×240 検索相場に分割すればサンプルインパク数は約6.15MHzが良いので、この装置では4.15MHzサンプルインパク数を基本とし、その他にこれを $\frac{1}{2}$, $\frac{1}{4}$ の周波数でサンプルインパク数を倍増せている。ICメモリの容量、周波数は6.15MHzでR, G, B 3色の情報を画面全体にわたって入力することはないが、その代り画面内の任意場所の 128×128 検索情報を入力出来るようになってしまった。またサンプルインパク数を $\frac{1}{2}$ または $\frac{1}{4}$ に下げることにより、サンプルインパクの軽減は粗く分けた1画面全体のラフな情報を入力可能にしてある。なお、対象にはカラーフィルムは不要で、白黒画像のほう良い場合がある。この場合にはY信号出力を4つのBankに接続することから来て、 256×256 検索 (実効的) $= 12288 \times 240$ の画面を入力することから来るようにしてある。なお上述の 128×128 あるいは 256×256 という数値は上限値を意味し、実際に4つのサンプルインパクの任意場所の $m \times n$ 検索 (m, n : 行立) を抽出して入力出来る。この機能は後に触れるように対象物の位置検出操作と併用することにより大変便利に使うことが出来る。

モード	バンク	カラー	走査ピッチ	
				1 word目
				2 word目
				3 word目
				4 word目

図2 コマンドの構成

(2) データ転送

H-10 のコア内に記憶されたデータと IC メモリの行差の Bank の行差の番地から書き込む動作と、その逆の動作を行なう。データ転送は 1 段末まで 1 word にパックして行ない、転送語数は 16 KBytes 以下、転送速度は 1.4 MBytes/sec である。IC メモリは内容保存のため、水平走査の「ランニング」中に Refresh 動作を行なつており、本装置はすべてテレビの走査信号を基準にしている。したがって転送開始は垂直駆動信号と同期ととてよい。転送に要する時間は待ち時間も含め最大 33.3 ms である。

(3) Display

IC メモリの内容を標準テレビ方式（飛び越し走査無視、カラーハードウェア）で Display する機能であり、上記の A/D 変換またはデータ転送の動作を行なつといふ場合には、IC メモリの内容を常に Display している。IC メモリの Read 動作は 4 Bank 同時に行なえるようになっており、通常は Bank 1 ~ Bank 3 の内容をそれぞれ R, G, B 信号としてカラーモニタに表示し、Bank 4 の内容を白黒モニタに表示する。4 Bank 全部に白黒画像を入力した場合には白黒モニタ上に 256×240 の大きさの白黒映像を表示する。カラーや白黒いずれの場合も LCD 上に 1 画素分の入力画像あるいは処理結果の画像を表示出来ることは勿論であるが、比較的小エリアの $m \times n$ 絵画の画像を何枚か併置して表示（例えば「入力画像」と、適当な前処理を施した画像など）することも出来、画像処理の効果を即時判断するのに便利である。

(4) ステージ駆動

この動作は前 3 項題の動作とは異なり、計算機から位速モードで出力されるコマンドにより、顕微鏡ステージと zwar, 軸方向に移動させたり、原点に復帰させたり機能を持たせられる。X, Y 方向への移動量は H-10 からコマンドと同時に出力されるデータによって定まる。ステージの移動量は $0.5 \mu\text{m}/\text{pulse}$ および $10 \mu\text{m}/\text{pulse}$ の 2 様種があり、移動速度は 50 pps である。

2. 3. 顕微鏡画像処理装置による処理例

2. 3. 1. 白黒画像の処理例

(1) 画像サンプリング法

画像入力用として粗走査 (RS) と精走査 (PS) の 2 様種のマクロ命令を作成するが、説明の便宜上これらに簡単に触れる。

i) 粗走査 (RS)

1 画素を水平方向 3.075 MHz , 垂直方向 1 ラインあたりにサンプリングされ、縦横とも $1/2$ に縮小した画像と IC メモリの 1 バンクに書き込む。

ii) 精走査 (PS)

指定された位置から、画面の一部 $m \times n$ 絵画 ($m, n \leq 128$) を水平方向 6.15 MHz , 垂直方向 1 ライン毎にサンプリングされ、IC メモリの 1 バンクに書き込む。

(2) 細胞識別の前処理

対象とする画像のビデオ・モニタ像を図 3 (a) に示す。図からわかるように、画像には細胞（大きい塊）と白血球（小さい塊）が混在しており、この中から細胞を検出する必要がある。そこでまず、粗走査を行なつて画像全体を IC メモリに書き込み（図 3 (b)），この画像情報を H-10 に送つて細胞の位置と大きさを検出し、各細胞の位置を粗走査の各画素の位置と一致させる。

きを止め(図3(c))，これを記憶する。図3(c)では左上と中下に細胞が検出されたことが示されている。各々の細胞の検出は細胞検出を行なっており、適当なしきい値濃度でスライスした際のなかで絶縁の径が8μm以上あるものを検出している。

つぎに左上の細胞がほん中に3ように精走査の開始部位を止め、P5命令により精密な細胞の画像情報をICメモリに取り込む(図3(d))。この画像情報をH-10に送り、粗走査時に求めた細胞の大さきにしたがって不要な部分を除き、細胞の有用部分を切り出る(図3(e))、識別が必要な情報をパラメータを求める。これらの処理が終った段階で中下の細胞について同様の処理を行なう。図3(f)は精走査の結果、図3(g)は切り出した結果を示している。

このように粗走査と精走査を組合せることにより、画面内すべての細胞をICメモリ1バシの容量で処理することが出来る。

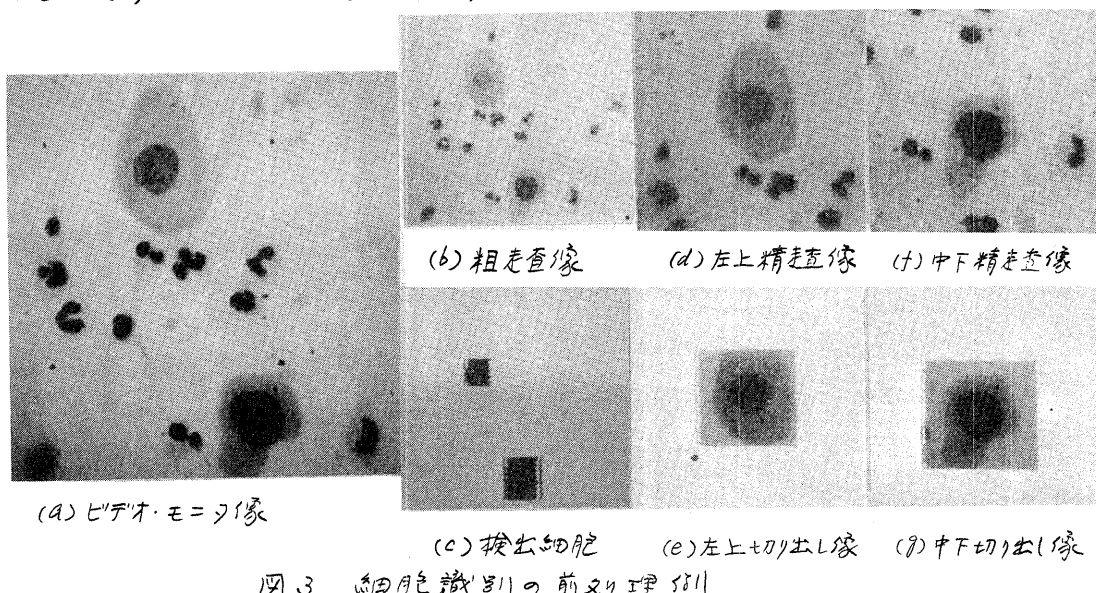


図3 細胞色識別の前処理例

2. 3. 2. カラー画像の処理例

対象とする画像には白血球と赤血球が含まれてあり(図4(a)), 白血球の核は紫色, 白血球の細胞質は薄青色, 赤血球は橙紅色に染まっている。この血球の色の違いを利用して白血球の特徴抽出に必要な前処理を行なうことが出来る。以下の処理に用いる顕微鏡画像は,

i) 粗走査でTVMモードの画面全体を入力し, H-10に転送して白血球の検出を行ない, 白血球像が画面のほん中に来るよう顕微鏡のステージを移動する。

ii) 精走査でBank 1へ4にかけられた倍カラーカメラの映像出力信号R, G, Bとその合成信号を入力する。

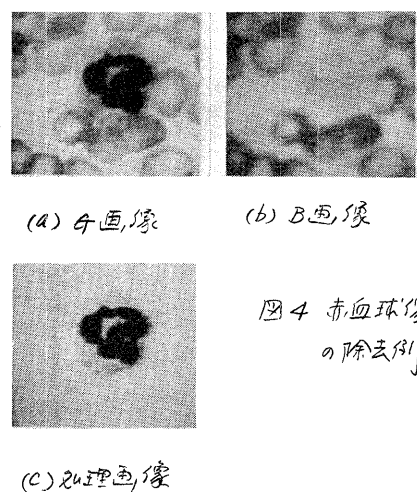


図4 赤血球像の除去例

の2段階で取り込んでいる。また以下の處理では Bank 4 & Working モリとし
て使用している。

(1) 赤血球像の除去法

白血球自動分類の対象は白血球像であり、そのまわりに存在する赤血球像は自動分類の立場からは難音成分と考えられる。G画像では白血球の核像は濃いが赤血球もかなり濃く、一方B画像では白血球はほぼ消え、赤血球のみが残っている。それゆえ次のようない操作を施すことにより白血球像に影響を与えることなく赤血球像の除去が可能である。以下式に表わすと。

$$l_{ij} = g_{ij} - \alpha b_{ij} \quad (1)$$

$T=1$ し $L = (l_{ij})$: 赤血球除去処理画像, $G = (g_{ij})$: G画像, $B = (b_{ij})$:
B画像, α : 重み,
とする。式(1)の例を図4に示す。この処理を施した画像から白血球の核形および核と大きな顆粒を含むマスク・パターンを抽出することは容易であり、これらのパターンを用いて白血球の核形態の定量化、顆粒の色彩情報の定量化が可能である。

(2) 白血球の細胞質部分の抽出

白血球の細胞質部分の大きさや色も自動分類にとって有効な情報である。しかし細胞質の染まりは薄く、白黒画像のみを用いて抽出することは困難であるが、次の操作により細胞質部分のみの抽出が可能である。前回と同様の表現をすると

$$C_{ij} = f_1(g_{ij} \wedge f_2(g_{ij}) \wedge f_3(b_{ij})) \quad (2)$$

$T=1$ し $C_M = (C_{ij})$: 細胞質マスク, $f_i(x)$: しまの歪みに対する直線化画像
とする。式(2)の例を図5に示す。この細胞質マスクパターン上でのG画像およびR画像の平均濃度等から細胞質の色彩情報の定量化が可能であり、また式(1)
の核形マスク・パターンと組み合わせることにより核胞体比が求まる。

以上述べたようにカラー画像の処理が4つのバンクを用いて有効に行なえる。

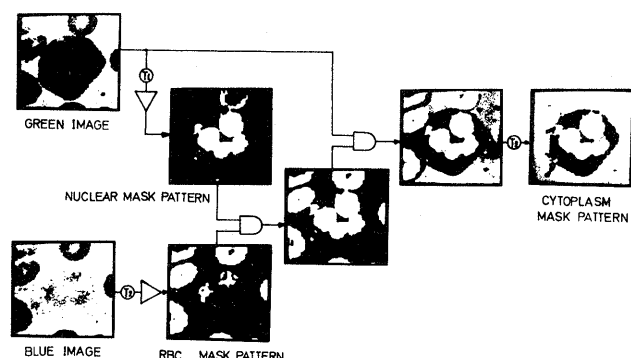


図5. 細胞質マスクパターンの抽出例

3. 研究の現状'

3. 1 医用画像処理の研究経過

日立中研における医用画像処理の研究は、1970年に開始された。当時M-Eの分野では心電、心音の自動認識の研究が完成時期に達し、引き続き脳波自動認識の研究など高度の一次元波形認識の研究が開始されたと同時に、二次元画像認識への期待が高まりつつある。そこで甲状腺シンチグラムの自動認識、染色体分類の自動化などの研究に着手し、さらにシネアンギオグラムの自動認識の研究、カラー眼底写真の自動認識の研究などを行なってきた。その後研究対象の変更等がいくつかあったが、現在は顕微鏡レベルの画像処理、特に白血球自動分類および子宮がん細胞の自動認識の研究を重点研究の一つとして探しあげている。また最近、コンピュータを用いてX線横断断層像の再生、いわゆる Computer Tomography が脚光を浴びていて、我々もこの研究を採りあげ、国産初の頭部用 Computer Tomography 装置の製造化に成功している（図4）。

一方画像処理の技術は単に医学用に限定されることはなく、他の応用例十分考えられる。その一つの例としてカラーブラウン管の検査工程自動化の研究に着手しており、熟練検査員の視感評価に頼っていた各種検査工程の省力化、定量化を行なうとしている。

以下、主たる研究内容の現状と内外の情勢にも触れながら簡単に紹介する。

3. 2 カラー眼底写真の自動認識

高血圧性疾患は我が国の死亡率の第1位を占めており、これの早期発見を目的とする各種検査の一つに眼底検査がある。これは目の網膜の状態を直接みると眼底カメラで撮影して検査するものであり、網膜上に表われる各種の病変から病気の進行度を検査する。この検査を技師に代えて自動的に認識し、スクリーニングする機械の研究を行なっており、病変のうちで技術的に最も困難と見えられる交叉現象の自動定量分類の手法がすでに確立されており、残るは白斑、出血など他の病変の定量化と、病変の存在する場所をマクロにサーチする手法の開発である。Man-Machineタイプの半自動化システムとミニコンベースで組み立ては技術的にそれほど困難ではない。眼底画像の処理の研究は我々が先鞭をつけたが、最近イリノイ大、SRI、阪大などでも行なわれてあり、したがってこの分野も活躍にけるものと思われる。

3. 3 子宮がん細胞診自動化の研究

子宮がん細胞診自動化の研究は、米国で開始されて以来20年近くも経過し、その間に幾多の試作機が作られたにもかかわらず、今だに实用機が誕生していない。その原因は(1)には認識精度が悪いことと、(2)には処理速度が遅いこと、があげられるが、最近、処理速度の問題は解消されており、残るは精度向上である。精度低下を起す原因是、異常と正常を区別するアルゴリズムが不十分なこと、および、細胞の重なりがひどく、二の重なり、三の重なりと細胞をまとめて異常と判定してしまう不都合が生ずることにある。我々もこの問題を解決するため長年努力を重ねてきたが、前者については細胞の分化を考慮した階層的識別論理を組立てにより解決できることを見出した。後者の細胞の重なりについてはこれを識別アルゴリズム側だけで解決することは困難であり、細胞の塗り方の変更を含めて検討を行なっている。

3. 4. 白血球自動分類の研究

白血球を正常と種類に分類し、さらに異常球の存在を見つける作業は、病院の臨床検査室において日常的に行なわれる検査業務であり、(か)検査技師に対する負担の最も重い業務の一つである。この検査は血液1000μlあたりの高倍率の顕微鏡下で行なわれるが、白血球相互通の分類には高度の熟練と要する微妙な問題を含みこと、色彩情報を適切に利用する必要があることなどの問題点を含んでおり、これが自動化は決して易しくない。我々の研究室では正常白血球の6分類については95%の精度が得られるアルゴリズムをすでに確立しており、一つの山を越えたと考えている。現在異常白血球の自動認識手法の開発に着手しており、これが完成すれば実用化の前途が立つことに今る。年15年前(1975年)米国において白血球自動分類装置の製品化に成功したメーカー社があり、今後この種の機械が広く普及していくものと考えられる。

3. 5. Computer Tomography の研究

Computer Tomography の研究は、米国のEMI社が製品化に成功して以来にわかつて脚光を浴び、今では世界各国で研究開発が行なわれている。このことは昨年10月に米国で行なわれた医用画像処理に関する日本セミナーにおいて、あるいは11月に開かれた北米医学放射線学会の展示等に聴衆に表われており、特に米国の熱の入れ方、あるいは追い上げの急なことは想像以上であった。

我々の研究室でもこの問題を挙り上げて各種の2次元画像再生アルゴリズムへの比較評価を行なつたが、これをベースとして日立メディコと共同で頭部用の Computer Tomography 装置の開発を行ない、日本初の製品化に成功した。今後の課題としては全身用の装置の開発、画像の高品位化の研究、画像入力および画像再生の高速化の研究などがある。

Computer Tomography の研究は、医用画像処理技術の中でも最も輝やかしい成功を収めた例であり、白血球分類の研究とともに今後も研究が盛んに行なわれるものと思う。

3. 6. カラーブララン管の画像復・色から自動認識の研究

カラーブララン管(以下CPT) 製造工場は相当自動化が進んでいたが、人間の目による判断を必要とする検査(視感評価)だけは機械化されていない。すなはちCPT上の微小な傷の有無、あるいは管面を白色に光らせたときの色あらの有無等の検査である。この検査は他の画像処理と少しちがい、常に容易に検知できない微小な信号レベルに良品と不良品の識別限界がある。したがってこの検査を自動化するためには非常に微弱な傷信号、あるいは色差信号を正確に再現性よく検知する必要があり、いかにしてノイズの妨害を除去するかが大切である。そのうえで検査員の視感評価と一致させる定量的な評価アルゴリズムを確立する必要がある。以上の点を十分考慮してプロトタイプの試作が現在ほぼ完了し、各種性能試験を行なっている。

4. おわりに

医用画像処理あるいは一般にパターン認識の研究は果して医学に貢献しうるであろうかという懐疑の声がしげしげ聞かれるが、私はこれに対する力強い肯定的解

答 6 Computer Tomography と白血球分類の研究で出されてきたと考えていい。特に前者の医療界に与えたインパクトは非常に大きく、高価な機械であるにもかかわらず、今後急速に普及してゆくものと考えられる。後者については我々としてはまだ今後の課題であるが、やはり病院の臨床検査用として広く普及してゆくものと考えられる。一方、細胞診自動化の研究は幾多の曲折はあるものの、着実に進歩してきており、白血球分類に統いて実用化の可能性が高いとみてよいであろう。

1) 文字認識の研究は実用化までの足り比較的長く、文字認識の研究の場合でも研究開始から普及期に達するまでには 10 年を経過している。その意味でも医用画像処理機械の研究開発はこれからが本番とみてよいかどうか。

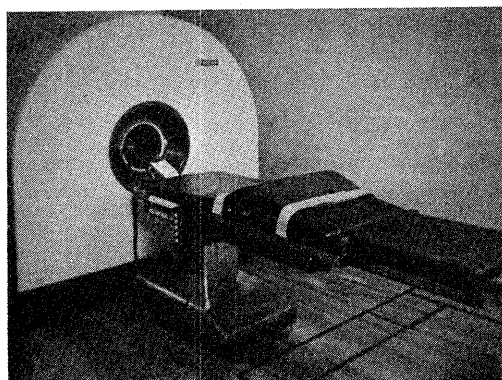


図 6. Computer Tomography 装置の外観
(日立メディコ製)

5. 発表文献 (一部投稿中未含む)

■カラ一眼底写真関係

- (1) 山本ほか：第 10 回 ME 学会大会予稿集，6-4-11 (1971)
- (2) 山本ほか：第 11 回 ME 学会大会予稿集，2-2-5 (1972)
- (3) 横内，山本ほか：眼底像の血管境界線抽出，日本 ME 学会画像処理研究会資料，IT クラス 38 (1973. 2)
- (4) 横内，山本ほか：第 12 回 ME 学会大会予稿集，B-6 (1973)
- (5) 松井，山本：眼底写真の自動定量診断に関する研究，日本眼科学会誌，77, 8, P 907-918 (1973. 8)
- (6) 横内，山本ほか：カラ一眼底写真の境界線自動抽出，第 4 回画像工学コンフレンス論文集，P 53-56 (1973. 11)
- (7) 横内，山本ほか：第 13 回 ME 学会大会予稿集，1-C-69 (1974)
- (8) 横内，山本ほか：眼底写真の自動認識，医用電子と生体工学，8, 3, P 26-34 (1974. 6)
- (9) S. Yamamoto, et al : Image Processing and Automatic Diagnosis of Color Fundus Photographs, Proc. of 2nd International Joint

Conference on Pattern Recognition (Copenhagen, Denmark),
P268-269 (1974. 8)

- (10) 松井, 山本ほか: 眼底写真の自動定量診断に関する研究, 日本眼科学会誌, 78, 8, P533-539 (1974)
⁽⁴⁰²⁾
- (11) 松井, 山本ほか: 眼底写真の自動定量診断に関する研究, 日本眼科学会誌, 78, 8, P758-765 (1974)
⁽⁴⁰³⁾
- (12) 横内, 山本ほか: カラー眼底写真的物理について, 信号処理画像工学研究会資料, IE74-63 (1974. 11)
- (13) 山本, 横内ほか: カラー眼底写真的自動認識, テレビジョン学会テレビジョン技術応用研究会資料 17-1 (1974. 11)
- (14) 横内, 山本ほか: 電子通信学会全口大会予稿, 1182 (1975)
- (15) 山本, 横内: カラー眼底写真的自動認識へのアプローチ, 映像情報, P74-77 (1975/3)
- (16) 横内, 山本ほか: 眼底写真的自動認識 (492), 医用電子と生体工学, 13, 5, P16-23 (1975. 10)
- (17) S. Yamamoto et al: Automatic Recognition of Color Fundus Photographs, U.S.-Japan Seminar on Digital Processing of Biomedical Images, (1975. 10)
- (18) 横内, 山本ほか: 第14回ME学会大会予稿集, 2-F-18 (1975)
- (19) 山本, 横内: テレビカメラによる眼底写真的自動診断, テレビジョン学会誌, 29, 5, P389-395 (1975)

子宫がん細胞診断

- (1) 上井, 他: 細胞診自動化の基礎となる細胞の形態学的及び分光學的研究, 厚生省癌研究助成金報告書 (1972. 12)
- (2) 上井, 他: 細胞診自動化の基礎となる細胞の形態学的研究, 同上報告書 (1973. 12)
- (3) 館木, 他: 第13回日本ME学会大会資料集, 1-C-56 (1974).
- (4) 館木, 他: 子宮癌細胞の自動識別, 電気開発学会関西支部連合大会シンポジウム, IE74-65 (1974. 11)
- (5) 上井, 他: 細胞診自動化の基礎となる細胞の形態学的研究, 厚生省癌研究助成金報告書 (1974. 12)
- (6) 館木, 他: 電子通信学会全口大会予稿, 1183 (1975. 3)
- (7) 館木, 他: 第14回日本ME学会大会予稿集, 2-F-25 (1975)
- (8) S. Yamamoto: Review of High-Resolution Systems, International Conference on Automation of Uterine Cancer Cytology, (1975. 4)
- (9) S. Yamamoto: Statistical Sampling Requirements, 同上会議, (1975. 4)
- (10) 館木, 横内ほか: 電子通信学会全口大会予稿, (313) (1976. 3)
- (11) 館木, 横内ほか: 第15回日本ME学会大会論文集 (314) (1976. 4)

★白血球自動分類関係

- (1) 河野, 鈴木: 第13回ME学会予稿集, 1-C-62 (1974)
- (2) 橋詰, 河野ほか: 白血球分類自動化の研究, ME学会画像処理研究会資料, 74-20, (1975. 1)
- (3) 橋詰, 河野ほか: 電子通信学会全国大会予稿集, 1185, (1975)
- (4) 河野, 橋詰ほか: 同上, 1186, (1975)
- (5) 橋詰, 河野ほか: 第14回ME学会予稿集, 2-F-26 (1975)
- (6) 河野, 橋詰ほか: 同上, 2-F-27 (1975)
- (7) 河野, 鈴木ほか: テレビジョン学会全国大会予稿, 17-4 (1975)
- (8) 鈴木, 橋詰ほか: 同上, 17-5 (1975)
- (9) 橋詰, 河野ほか: 白血球分類自動化の研究, 第6回画像工学コンファレンス論文集, P73-76 (1975)
- (10) 橋詰, 河野ほか: 白血球自動分類装置の研究, テレビジョン学会丁法技術応用研究会資料 22-3, (1976. 1)
- (11) 橋詰, 河野ほか: 電子通信学会全国大会予稿, 1234, (1976)
- (12) 河野, 橋詰ほか: 第15回ME学会大会論文集, (1976)
- (13) 橋詰, 河野ほか: 同上, (1976)

★Computer Tomography 関係

- (1) 河野, 塩野ほか: 電子通信学会全国大会予稿, (1976)
- (2) 河野, 塩野ほか: 第15回ME学会大会論文集, (1976)

★カラーブラウン管検査関係

- (1) 木滑, 山本ほか: カラーブラウン管の白色均一性の測定, 電気学会視覚情報研究会資料 AIN-74-1~9, (1974. 1)
- (2) K. Kinamori et al: Measurement of White Uniformity of Color Picture Tubes, Applied Optics, 13, 6, P1070-1072, (1974. 6)
- (3) 横内, 山本ほか: カラーブラウン管の画欠失自動認識装置の開発, テレビジョン学会画像表示研究会資料 11-5, (1974. 11)
- (4) 横内, 山本ほか: 電子通信学会全国大会予稿, 978, (1975. 3)
- (5) 横内, 山本: テレビジョン学会全国大会予稿, 15-5 (1975. 8)
- (6) 横内, 山本: カラーブラウン管の画欠失自動認識装置の開発, 第6回画像工学コンファレンス論文集, P53-56 (1975. 11)
- (7) 木滑, 横内ほか: カラーブラウン管の白色均一性および画面傷の自動測定, 電気学会視覚情報研究会資料, (1976. 2)

★その他

- (1) H. Yasukochi et al: Computer Aided Diagnosis on Sialograms, Proc. of the First Asian and Oceanian Congress of Radiology (Melbourne), (1971. 11)
- (2) 安河内, 鈴木ほか: コンピュータによるシンチグラムの診断, 痛の臨床, 18, 4, P238-243 (1972. 4)

- (3) 河野, 鈴木; シンタグラム像の計算機処理, 医用電子と生体工学, 10,
4, P 22-29, (1974. 8)
- (4) 河野, 鈴木ほか; 甲状腺シンタグラムの自動解釈, ME 学会大会 1-4-2
(1971)
- (5) 河野, 鈴木ほか; 甲状腺シンタグラム自動解釈の研究,
ME 学会大会 2. 3. 2 (1972)
- (6) 排井, 行か; ヒト染色体の分類の自動化, ME 学会大会 1-3-2 (1971)
- (7) 鈴木ほか; ヒト染色体自動分類装置の研究, ME 学会大会 2-1-6 (1972)
- (8) 古内, 鈴木; 心臓X線映画テータ処理について, ME 学会大会 B-5 (1973)
- (9) 山本, 桐原ほか; 気象衛星画像からの雲移動量の自動認識, 第4回画像工
学コンファレンス論文集, P 25-28 (1973. 11)
- (10) 山本, 桐原ほか; 気象衛星画像からの風ベクトル演算アルゴリズム, 情報
処理, 15, 1, P 10-17 (1974. 1)
- (11) 桐原, 山本ほか; 気象用静止衛星からの画像のマッピング手法, 情報処理,
15, 5, P 342-349 (1974. 5)